

## ЗАТУХАНИЕ КВАНТОВАНИЯ ЛАНДАУ КАК МЕТОД ИЗУЧЕНИЯ СОВЕРШЕНСТВА ГРАНИЦЫ РАЗДЕЛА ГЕТЕРОПЕРЕХОДА С 2D-ЭЛЕКТРОНАМИ

Кадушкин В. И.

Проанализированы осцилляции Шубникова—де-Гааза поперечного магнитосопротивления селективно легированных гетероструктур  $n\text{-Al}_x\text{Ga}_{1-x}\text{As}/\text{GaAs}$  с 2D-электронами при  $T=4.2$  К и магнитном поле до 7.2 Т. Из магнитолевой зависимости амплитуды осцилляции (графики Дингла) определен фактор нетеплового (столкновительного) уширения уровней Ландау (температура Дингла  $T_D$ ). Установлена линейная связь  $T_D$  с концентрацией электронов в двумерном канале  $n_s$ . Теоретический анализ показал, что такой вид связи  $T_D$  и  $n_s$  обеспечивают флуктуации потенциального рельефа, которому следуют флуктуации электронной плотности. Эта модель на основе сопоставления соответствующих времен релаксации позволила выполнить оценки характерных размеров флуктуаций. В исследованных структурах установлены флуктуации от 8.5 до 80 Å. Определена «приведенная» к поверхностной концентрации рассеивающих центров  $N_{BI}$  (поверхностных состояний), обуславливающих нетепловое уширение уровней Ландау:  $1.4 \cdot 10^9 \leq N_{BI} \leq 7.0 \cdot 10^9 \text{ см}^{-2}$ .

1. Конечная амплитуда осцилляций Шубникова—де-Гааза (ШГ) различных кинетических коэффициентов связывается с отличной от нуля температурой опыта и, как следствие этого, неполным вырождением носителей и нетепловым (столкновительным) уширением уровней Ландау [1]. Ограничение амплитуды осцилляций нетепловым уширением уровней Ландау формально описывается понижающим фактором Дингла

$$R_D \sim \exp(-2\pi^2 k T_D / \hbar \omega), \quad T_D = \hbar / 2\pi^2 k \tau_c, \quad (1)$$

где  $T_D$  — температура Дингла,  $\tau_c$  — время релаксации столкновительного уширения,  $\omega = (e/m^*)B$  — циклотронная частота.

В работах [2, 3] обсуждены возможные механизмы нетеплового (столкновительного) уширения уровней Ландау в объемных полупроводниковых соединениях. Двумерные электронные системы — объект существенно сложнее. В низкотемпературную область помимо примесного механизма (несомненно, являющегося определяющим фактором, ограничивающим подвижность [4]) включается релаксация на поверхностных состояниях, шероховатостях, мелко- и крупномасштабных флуктуациях потенциального рельефа.

В настоящей работе предпринят анализ характера затухания осцилляций поперечного магнитосопротивления  $\rho_{xx}$  ШГ с целью получения информации о факторах, ограничивающих подвижность 2D-электронов в квантовой яме на границе раздела гетероперевода. Анализу подвергнуты осцилляции  $\rho_{xx}$  ШГ селективно легированных гетеросистем  $n\text{-Al}_x\text{Ga}_{1-x}\text{As}/\text{GaAs}$  ( $x \approx 0.30$ ), выращенных методом молекулярно-лучевой эпитаксии.

Установление магнитолевой зависимости амплитуды осцилляций  $\delta$  (1/ $B$ ) (график Дингла) известными методами в случае двумерных электронов имеет определенные особенности. В двумерных системах с вырожденными носителями, как и в объемных полупроводниках, реализуются режимы квантового магнитного поля и квантового предела [5]. Однако в совершенных структурах

с хорошо разрешенной энергетической щелью в функции плотности состояний в области осцилляций ШГ и квантового предела реализуется режим квантового эффекта Холла. При этом возникает асимметрия в амплитуде осцилляций (плато в минимумах  $\rho_{xx}$ ). Дополнительно к этому существенно искажают вид осцилляционных кривых «нулевые» осцилляции [6]. Поэтому в настоящей работе анализ осцилляций выполнен на структурах, обнаруживших косинусоподобные осцилляции (при реализованных нами физических условиях эксперимента); трудности с нулевыми осцилляциями обойдены двумя методами: 1 — записью осцилляционных кривых при таких токах через образец и чувствительности измерительного тракта (нулевые осцилляции не проявляются), разогрев 2D-электронного газа не имел места; 2 — методом подавления детектируемой наводки радиотехническими средствами. В соответствии с вышеизложенным для анализа отобрано более 20 структур.

Методика извлечения информации из экспериментальных кривых осцилляций  $\rho_{xx}$  сводилась к следующему. Аналогично [7, 2] в зависимости  $\rho_{xx}$  от величины  $1/B$  устанавливалось положение монотонного компонента [8] и выделялась осциллирующая часть магнитосопротивления (амплитуда осцилляций). С учетом температурного фактора  $x/\text{sh } x$  ( $x=2\pi^2 kT/\hbar\omega$ ) строился график Дингла, из которого определялись температура Дингла  $T_D$  и соответственно время нетеплового столкновительного уширения  $\tau_c$ .

На рис. 1 представлены результаты анализа осцилляций ШГ поперечного магнитосопротивления, а именно зависимость температуры Дингла  $T_D$  от концентрации электронов в двумерном канале гетеросистемы  $n\text{-Al}_x\text{Ga}_{1-x}\text{As}/\text{GaAs}$ . Видно, как величины  $T_D$  группируются в семейства I—III, в которых зависимость  $T_D(n_s)$  можно аппроксимировать линейным законом. Следует отметить, что, например, в семействе II структуры отличаются определенно направленными вариациями условий технологии роста.

Представляется следующая интерпретация наблюдаемого. В качестве одного из механизмов нетеплового уширения уровней Ландау в [2] указывались флуктуации электронной плотности, которые происходили из-за флуктуаций легирующей примеси. Приняв это соображение за основу, положим, что флуктуации электронной плотности  $\varepsilon = \Delta n_s/n_s$  в двумерном канале более или менее «отслеживают» флуктуации  $\Delta N_i/N_i$  в распределении примесей (и, возможно, корреляцию в их планарном распределении [4]).

В таком предположении с учетом того, что для группы носителей  $n_s(x_1) = n_s$ ,  $n_s(x_2) = n_s + \Delta n_s$ , условия резонанса выполняются в разных по величине магнитных полях

$$\hbar\omega_1(N + 1/2) = \xi(x_1), \quad \hbar\omega_2(N + 1/2) = \xi(x_2), \quad (2)$$

где  $\xi(x_1) = (\pi\hbar^2/m^*)n_s$ ,  $\xi(x_2) = (\pi\hbar^2/m^*)(n_s + \Delta n_s)$ . Уширение экстремума, соответствующего выходу  $N$ -подзоны Ландау на уровень Ферми из-за неоднородности  $\Delta n_s$ , эквивалентно  $kT_D = \hbar(\omega_2 - \omega_1)$ . Следовательно, аналогично [2] имеем

$$T_D = \frac{\pi\hbar^2}{km^*} \varepsilon n_s, \quad (3)$$

что, согласно предложенной модели, описывает следующий из эксперимента результат (рис. 1).

Оценим характерные размеры флуктуаций, которые являются рассеивающими (кулоновскими) центрами для 2D-электронов при их дрейфе в скрещенных

Т а б л и ц а 1

№ образца	$n_s, 10^{12} \text{ см}^{-2}$	$\mu, \text{ м}^2/\text{В} \cdot \text{с}$	$\frac{\tau_c}{\tau_p}$	$z_i, \text{ \AA}$	$\frac{k_F}{q}$	$q^{-1}, \text{ \AA}$	$\frac{N_{BI}}{10^9 \text{ см}^{-2}}$
1	0.48	44.0	0.03	80	1.4	80	1.6
2	0.58	39.5	0.08	80	0.90	47	2.3
3	0.79	22.4	0.22	80	0.45	20	3.2
4	0.53	7.8	0.18	70	0.63	35	7.0
5	0.81	5.0	0.25	70	0.52	23	6.2

электрическом и квантующем магнитном полях. Времена релаксации, определяющие проводимость  $\tau_p$  и температуру Дингла  $\tau_c$ , отличаются тем, что в проводимость входит весовой множитель  $(1 - \cos \theta)$ , из-за которого возрастает вклад от рассеяния на большие углы  $\theta$ . Так,  $\tau_c/\tau_p < 1$  [1]. Отношение величин  $\tau_c$  и  $\tau_p$  является функцией  $k_F/q$ ,  $k_F$  — фермиевский волновой вектор электрона,  $q^{-1}$  — характерный размер рассеивающего центра (радиус экранирования).

Для объемных электронов и потенциала вида  $v(r) \sim \exp(-qr)/r$  в борновском приближении задачи решается точно, и выражение для  $\tau_c/\tau_p = f(k_F/q)$  приведено в [1]. Для двумерной электронной системы задача усложняется пространственным смещением рассеивающего (кулоновского) центра в область  $z < 0$  относительно границы раздела гетероперехода. В длинноволновом пределе ( $0 \leq q \leq 2k_F$ ) потенциал  $v(r)$  имеет степенную зависимость от  $r$ :  $v(r) \sim r^{-3}$  [9].

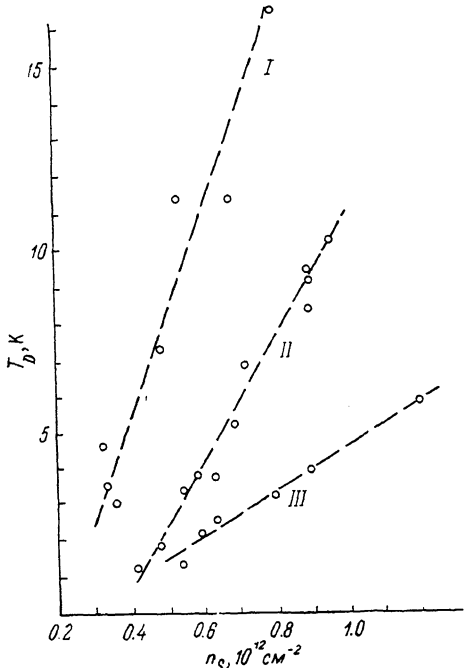


Рис. 1. Зависимость температуры Дингла  $T_D$  от концентрации электронов  $n_s$ .

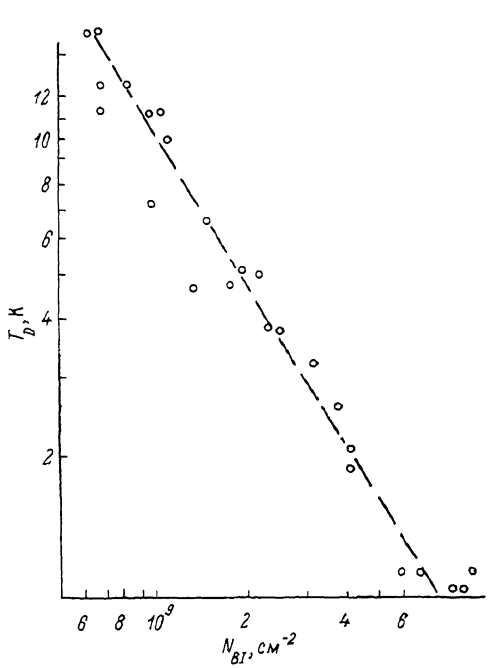


Рис. 2. Функциональная связь между «приведенной» плотностью поверхностных состояний  $N_{BI}$  и фактором нетеплового уширения уровней Ландау.

Функциональная связь  $\tau_c/\tau_p$  с  $k_F/q$  для различных толщин спейсера  $z_i$  численными методами установлена в [10].

По данным наших экспериментов ( $\tau_c$ ,  $\tau_p$ ,  $k_F$  и  $z_i$ ) и результатам расчетов  $\tau_c/\tau_p = f(k_F/q, z_i)$  [10] были выполнены оценки для ряда исследованных гетероструктур. Эти результаты сведены в табл. 1.

Используя связь  $T_D$  и  $\tau_c$  и следствия теории релаксации 2D-электронов [11], можно оценить приведенную к поверхностной концентрации  $N_{BI}$  примесных состояний, дающих, согласно [12], основной вклад в ограничение подвижности  $\mu$ . Исходя из того факта, что фононное рассеяние ( $\mu_{ph}$ ) контролируется примесным ( $\mu_{BI}$ ) и что при гелиевых температурах  $\mu_{ph} \gg \mu_{BI}$ , следует положить  $\mu \equiv \mu_{BI}$ . Выражение для  $\mu_{BI}$  применительно к исследуемой гетеросистеме имеет вид [11]

$$\mu_{BI} = 1.77 (n_s/N_{BI}) I^{-1}(\beta), \quad (4)$$

$$I^{-1}(\beta) = 1.26\beta^2 + 221\beta + 0.74, \quad (5)$$

где  $\beta = q/2k_F$ ,  $n_s = 10^{12}$  и  $N_{BI} = 10^9$  см<sup>-2</sup>,  $\mu = 1.77$  см<sup>2</sup>/В·с. По величинам  $n_s$  и  $T_D$  с учетом соотношений (4) и (5) установлена количественная функциональная

связь между  $T_D$  и  $N_{BI}$ . Результаты представлены на рис. 2. Зависимость  $T_D$  ( $N_{BI}$ ) близка к  $N_{BI}^{-1}$ .

Проанализируем полученные результаты. Прежде всего следует отметить, что ограничение длинноволнового предела  $k_F/q \geq 0.5$  в используемом приближении [11, 12] обеспечивается с минимальным запасом, а для образца 3 не выполняется. Как и следовало ожидать, величины  $q^{-1}$  оказались весьма близки к значению радиуса экранирования для исследованного соединения ( $\approx 50 \text{ \AA}$ ). Имеющая место тенденция уменьшения  $q^{-1}$  (для ГСЛ 1-3) с ростом  $n_s$  обусловлена уменьшением  $k_F$ , что приводит к сужению области величин  $q$ , при которых экранирование эффективно [13].

В табл. 1 видна отчетливая корреляция между величинами  $q^{-1}$  и  $N_{BI}$ . Интересно сравнить данные для образцов 3 и 5. Они выращены в одинаковых технологических режимах, но образец 3 выращен на сингулярной грани (001), а 5 — на вицинальной грани (угол разориентации  $10^\circ$ ), и исходная поверхность подложки содержала 11 % углерода [14]. При близких величинах  $n_s$  и  $q^{-1}$  плотности рассеивающих центров  $N_{BI}$  различаются почти в 2 раза, что обеспечило существенную разницу в подвижностях.

Таблица 2

Параметр	Данные работ			
	[15]	[16]	[7]	[1]
$R_D \sim$	$\exp\left(-\frac{2\pi^2}{\omega\tau_c}\right)$	$\exp\left(-\frac{\pi^3}{2\omega\tau_c}\right)$	$\exp\left(-\frac{2\pi}{\omega\tau_c}\right)$	$\exp\left(-\frac{\pi}{\omega\tau_c}\right)$
$T_D \approx$	$\frac{\hbar}{k\tau_c}$	$\frac{\pi\hbar}{4k\tau_c}$	$\frac{\hbar}{\pi k\tau_c}$	$\frac{\hbar}{2\pi k\tau_c}$
$\Delta\epsilon\tau_c \approx$	$\hbar$	$\frac{\pi}{4}\hbar$	$\frac{1}{\pi}\hbar$	$\frac{1}{2\pi}\hbar$

В заключение сделаем следующее методическое замечание. Понижающий множитель Дингла  $R_D$  (4), учитывающий нетепловое уширение уровней Ладау, в литературе определен неоднозначно. В табл. 2 сопоставляются выражения для  $R_D$  и  $T_D$ , взятые из известных нам литературных источников [1, 7, 15, 16]. В последней строке табл. 2 дано выражение для соотношения неопределенностей  $\Delta\epsilon = kT_D$  и  $\tau_c$ . Неоднозначность связи  $T_D$  и  $\tau_c$  не сказывается на результатах, полученных в настоящей работе (речь идет о величинах  $q^{-1}$ ), поскольку в расчетах использовалось отношение  $\tau_c/\tau_\mu = T_\mu/T_D$ . Однако для расчетов абсолютных величин  $\tau_c$ , а следовательно и  $q^{-1}$  и  $N_{BI}$ , коэффициент связи  $T_D$  и  $\tau_c$  имеет существенное значение.

Автор выражает благодарность А. Я. Шику и Т. А. Полянской за обсуждение отдельных принципиальных вопросов работы и С. В. Колосовой и А. А. Денисову за техническую помощь.

#### Список литературы

- [1] Шенберг Д. Магнитные осцилляции в металлах. М., 1986. 678 с.
- [2] Кадушкин В. И. // ФТП. 1981. Т. 15. В. 2. С. 230—240.
- [3] Дмитриев А. И., Лашкарев Г. В. // ФТТ. 1987. Т. 29. В. 3. С. 706—709.
- [4] Кадушкин В. И., Денисов А. А., Сеничкин А. П. // ФТП. 1989. Т. 23. В. 9. С. 1702—1704.
- [5] Munekata H., Mendez E. E., Jye Y., Esaki L. // II Int. Conf. on Modulated Semicond. Struct. Japan. Kyoto, 1985. P. 567—571.
- [6] Сайдашев И. И., Савельев И. Г., Крещук А. М. // Письма ЖЭТФ. 1987. Т. 45. В. 2. С. 95—97.
- [7] Sladek R. J. // Phys. Rev. 1958. V. 110. P. 817—826.
- [8] Кадушкин В. И. // Изв. вузов СССР. Физика. 1979. № 5. С. 60—65.
- [9] Stern F. // Phys. Rev. Lett. 1967. V. 18. N 14. P. 546—548.

- [10] Das Sarma S., Stern F. // Phys. Rev. B. 1985. V. 32. N 12. P. 8442—8444.
- [11] Lee K., Shur M. S., Drummond T. J., Morkos H. // J. Appl. Phys. 1983. V. 54. N 11. P. 6432—6438.
- [12] Алферов Ж. И., Савельев И. Г., Устинов В. М., Шмарцев Ю. В. // ФТП. 1985. Т. 19. В. 7. С. 1199—1203.
- [13] Андо Т., Фаулер А., Стерн Ф. Электронные свойства двумерных систем. М., 1985. 415 с.
- [14] Кадушкин В. И., Сенячкин А. П. // ФТП. 1990. Т. 24. В. 6. С. 1111—1113.
- [15] Займан Дж. Принципы теории твердого тела. М., 1966. 416 с.
- [16] Брандт Н. Б., Чудинов С. М. Электронная структура металлов. М., 1973. 332 с.

Научно-исследовательский  
технологический институт  
Рязань

Получена 2.04.1990  
Принята к печати 12.11.1990